



Міністерство освіти і науки України
Національний технічний університет України
«Київський політехнічний інститут імені Ігоря Сікорського»
Факультет прикладної математики

Лабораторна робота №1

Моделювання газових трубопроводних систем

«Моделювання складних систем»

Роботу виконав:

Студент 5 курсу, групи КМ-31мн,
Цибульник Антон Владиславович

Роботу приймав:

Професор кафедри ПМА,
Ориняк Ігор Володимирович

Зміст

§1 Постановка задачі	2
§2 Метод початкових параметрів	3
Ідея та опис методу	3
Урахування особливостей системи	4
§3 Пошук розв’язку системи №1	4
Деталізація поставленої задачі	4
Візуалізація отриманих результатів	6
§4 Пошук розв’язку системи №2	8
Деталізація поставленої задачі	8
Візуалізація отриманих результатів	10
§5 Висновки	14
§6 Програмна реалізація	15

§1 Постановка задачі

У лабораторній роботі розглядається моделювання газових трубопровідних систем. Газопроводи проєктуються шляхом виокремлення ділянок зі сталою заданою температурою, а відтак кожна точка s системи описується параметром тиску $p(s)$ та масового потоку $Q(s)$.

Основні рівняння для тисків та потоків у припущенні заданої постійної температури на ділянці трубопровода записуються таким чином:

$$\frac{dQ(s)}{ds} = 0, \quad (1.1)$$

$$p(s) \frac{dp(s)}{ds} = -\mu Q^2(s), \quad (1.2)$$

де коефіцієнт μ прямо пропорційний заданій температурі на ділянці T та обернено пропорційний опору ділянки трубопровода R :

$$\mu \propto \frac{T}{R} \quad (1.3)$$

Розв'язками диференціальних рівнянь (1.1)-(1.2) слугують вирази

$$Q(s) = \text{const} \quad (1.4)$$

$$p^2(s) + 2\mu Q^2(s)s = \text{const} \quad (1.5)$$

Відтак, для газопроводів виникає додаткова проблема нелінійності основного розв'язку. Однак систему можна лінеаризувати. Перш за все, проблема нелінійності тиску $p(s)$ у рівнянні (1.5) вирішується шляхом заміни змінних — рівняння розв'язується не відносно значення тиску, а відносно квадрату тиску:

$$\mathbf{p}(s) = p^2(s) \quad (1.6)$$

По друге, потік $Q^2(s)$ представимо як суму якогось основного припущення про поточне значення потоку (пробне/базове значення) та малої поправки до нього:

$$Q(s) = Q_{\text{trial}} + Q_{\Delta}(s), \quad (1.7)$$

відтак

$$Q^2(s) = (Q_{\text{trial}} + Q_{\Delta}(s))^2 = Q_{\text{trial}}^2 + 2Q_{\text{trial}}Q_{\Delta}(s) + Q_{\Delta}^2(s), \quad (1.8)$$

де значення $Q_{\Delta}^2(s)$ відкидається в силу своєї малізми:

$$Q^2(s) = (Q_{\text{trial}} + Q_{\Delta}(s))^2 \approx Q_{\text{trial}}^2 + 2Q_{\text{trial}}Q_{\Delta}(s) \quad (1.9)$$

Отже, вираз (1.9) задає лінеаризований вигляд потоку відносно поправочного значення $Q_{\Delta}(s)$. Таким чином, поклавши деяке початкове (базове) значення потоку, маємо змогу знайти розподіл потоків та тисків у газопровідній системі.

Ітеруючи процес, коригування базового значення потоку на ітерації $i + 1$ на основі знайденого поправочного значення на ітерації i відбуватиметься з кроком η таким чином:

$$Q_{trial}^{i+1} = Q_{trial}^i + \eta Q_{\Delta}^i(s) \quad (1.10)$$

§2 Метод початкових параметрів

Ідея та опис методу

Метод початкових параметрів (МПП) розглядає довільну систему як такі сутності: елементи; межі між елементами (кінці, вузли), де відбувається спряження дотичних елементів; границі всієї системи. При цьому для системи вводиться поняття потужності N — кількості параметрів, які визначають стан системи в кожній його точці s . Виокремлення окреслених вище сутностей системи відбувається поетапно разом із такими супутніми процедурами:

1. Система дробиться на декілька окремих ділянок (елементів), і кожна така ділянка нумерується відповідним чином. Після цього визначаються вхідні та вихідні краї кожного елемента, а також вузли — точки одночасного дотику декількох елементів. Іншими словами, відбувається організація обходу по елементах системи;
2. Нумерація невідомих змінних (параметрів) на кожному із двох країв кожного елемента системи;
3. Складання так званих рівнянь зв'язку для кожного елемента. Ці рівняння зв'язують параметри в кінцевій точці елемента зі значеннями в точці початку елемента. Рівняння зв'язку впливають з фізичних чи геометричних властивостей кожного елемента та системи в цілому;
4. Складання рівнянь спряження в кожному вузлі системи;
5. Складання рівнянь, що відповідають граничним умовам системи.

Для системи потужності N , що складається з K елементів, кількість невідомих параметрів системи складає $2KN$, адже для кожного елемента визначено невідомі змінні (параметри) на його початку та в його кінці. Відповідно, кількість складених рівнянь згідно з методом початкових параметрів має бути $2KN$.

Урахування особливостей системи

У контексті задачі моделювання газових трубопроводів, система характеризуватиметься $N = 2$ параметрами: тиском та потоком. Рівняння зв'язку задаватимуться диференціальними співвідношеннями (1.4)-(1.5) з урахуванням лінеаризованих виразів для тиску (1.6) та потоку (1.9).

Рівняння спряження сусідніх елементів складатимуться з міркувань неперервності тисків у точці дотику. У вузлах дотику M елементів, окрім рівності тисків, буде справедливими силові рівняння балансу потоків згідно з визначеними на першому етапі МПП знаками обходу:

$$\sum_{j=1}^M Q_j^{in}(s) = \sum_{j=1}^M Q_j^{out}(s) \quad (2.1)$$

§3 Пошук розв'язку системи №1

Деталізація поставленої задачі

Нехай газопровідна система задана таким чином: задано рівносторонній трикутник з вершинами A , B та C . Довжина кожної сторони $L = 5$ м. Усі вершини з'єднані трубами. У точці A тиск $p_A = 20$ Па, в точці B тиск $p_B = 6$ Па, в точці C тиск $p_C = 10$ Па. Опір кожної сторони складає $R = 1$ у.о. ($\mu = 1$ у.о.). Слід знайти розподіл потоків $Q(s)$ на кожній трубі системи.

Виконаємо перший крок методу початкових параметрів — реалізуємо організацію обходу по елементах системи (Рис. 1).

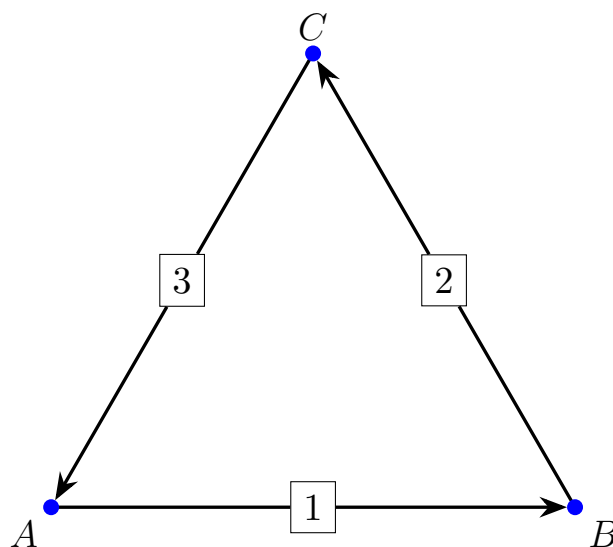


Рис. 1: Організація обходу по елементах системи №1

Отже, трубопровідна система потужності $N = 2$ розділена на $K = 3$ елементи та, відповідно, три точки спряження. Тож наступним етапом проведемо нумерацію $2KN = 12$ змінних (параметрів системи) на початку та в кінці кожного елемента (Табл. 1).

	Елемент «1»		Елемент «2»		Елемент «3»	
	Початок	Кінець	Початок	Кінець	Початок	Кінець
$\mathbf{p(s)}$	x_1	x_3	x_5	x_7	x_9	x_{11}
$Q_{\Delta}(s)$	x_2	x_4	x_6	x_8	x_{10}	x_{12}
Q_{trial}^i	α_2^i	α_4^i	α_6^i	α_8^i	α_{10}^i	α_{12}^i

Таблиця 1: Нумерація параметрів системи №1

Далі почергово складемо $2KN = 12$ рівнянь для введених змінних. Почнемо з рівнянь зв'язку: початок довільного елемента покладемо в точці s_0 , а набір базових значень потоків на ітерації i вважатимемо заданим:

$$\begin{pmatrix} \mathbf{p(s)} \\ Q(s) \end{pmatrix} = \begin{pmatrix} 1 & -2\mu Q_{trial}^i(s_0) s \\ 0 & 1 \end{pmatrix} \begin{pmatrix} \mathbf{p(s_0)} \\ Q_{\Delta}(s_0) \end{pmatrix} + \begin{pmatrix} -|Q_{trial}^i(s_0)| Q_{trial}^i(s_0) s \\ Q_{trial}^i(s_0) \end{pmatrix} \quad (3.1)$$

Рівняння спряження гарантуватимуть неперервність тисків у точці дотику сусідніх елементів. На додачу до граничних умов задачі, остаточний перелік рівнянь системи наведено у Табл. 2, Табл. 3 та Табл. 4.

Рівняння зв'язку для елемента «1»	Рівняння спряження елементів «1» – «3»	Гранична умова
$x_3 = x_1 - 2\mu \alpha_2^i x_2 L - \alpha_2^i \alpha_2^i L$ $\alpha_4^i + x_4 = \alpha_2^i + x_2$	$x_1 = x_{11}$	$x_1 = 400$

Таблиця 2: Перший блок рівнянь системи №1

Рівняння зв'язку для елемента «2»	Рівняння спряження елементів «1» – «2»	Гранична умова
$x_7 = x_5 - 2\mu \alpha_6^i x_6 L - \alpha_6^i \alpha_6^i L$ $\alpha_8^i + x_8 = \alpha_6^i + x_6$	$x_5 = x_3$	$x_5 = 36$

Таблиця 3: Другий блок рівнянь системи №1

Рівняння зв'язку для елемента «3»	Рівняння спряження елементів «2» – «3»	Гранична умова
$x_{11} = x_9 - 2\mu \alpha_{10}^i x_{10} L - \alpha_{10}^i \alpha_{10}^i L$ $\alpha_{12}^i + x_{12} = \alpha_{10}^i + x_{10}$	$x_9 = x_7$	$x_9 = 100$

Таблиця 4: Третій блок рівнянь системи №1

Візуалізація отриманих результатів

Задавши початковий набір базових значень потоків на ітерації $i = 0$ рівними

$$\alpha_{2j}^0 = 5, \quad j = \overline{1, 6}, \quad (3.2)$$

проведемо 1000 ітерацій пошуку розв'язку системи рівнянь (наведеної у Табл. 2 – Табл. 4) для уточнення значення потоку згідно з формулою (1.10), при цьому крок поправки задамо рівним $\eta = 0.01$. Значення поправочних потоків для кожного з елементів наведено на рисунках нижче:

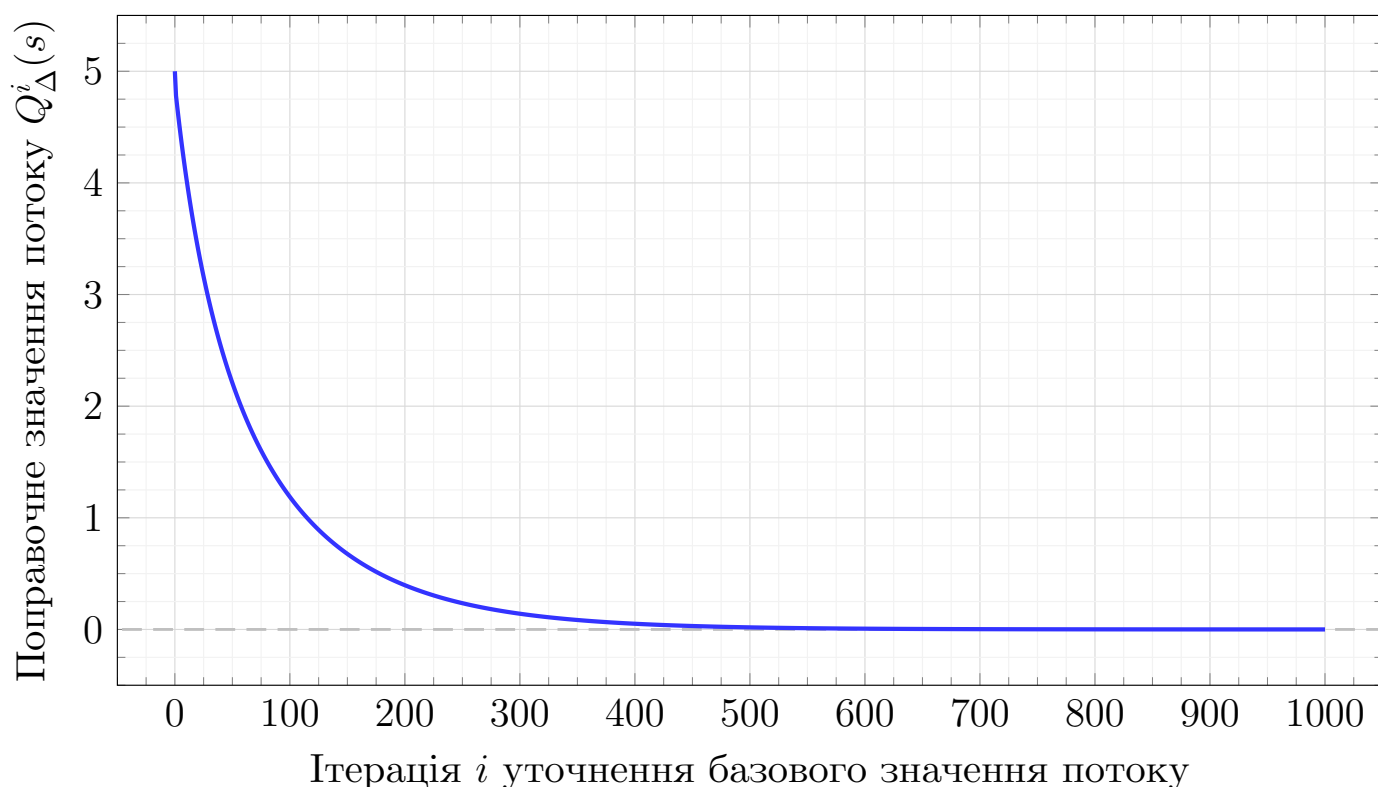


Рис. 2: Поправочне значення потоку на елементі «1» від ітерації до ітерації

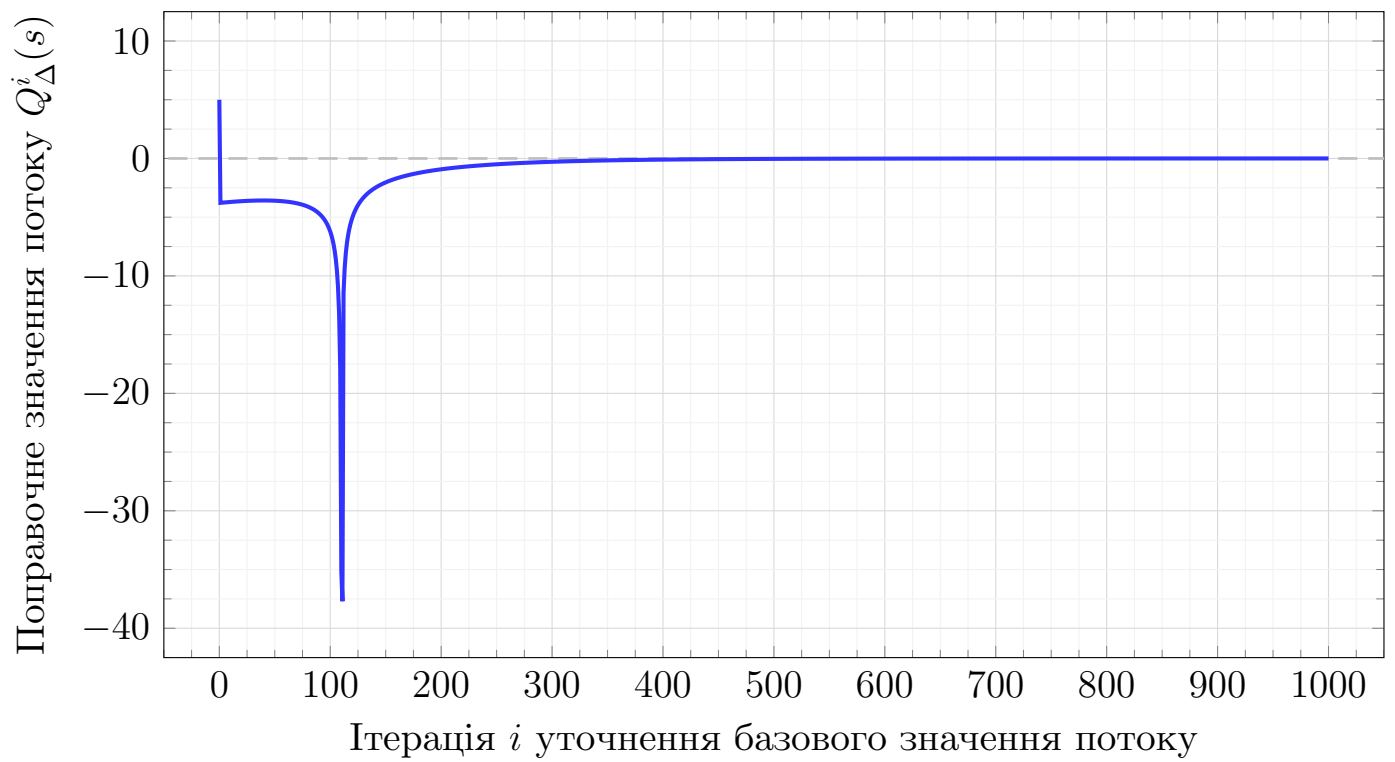


Рис. 3: Поправочне значення потоку на елементі «2» від ітерації до ітерації

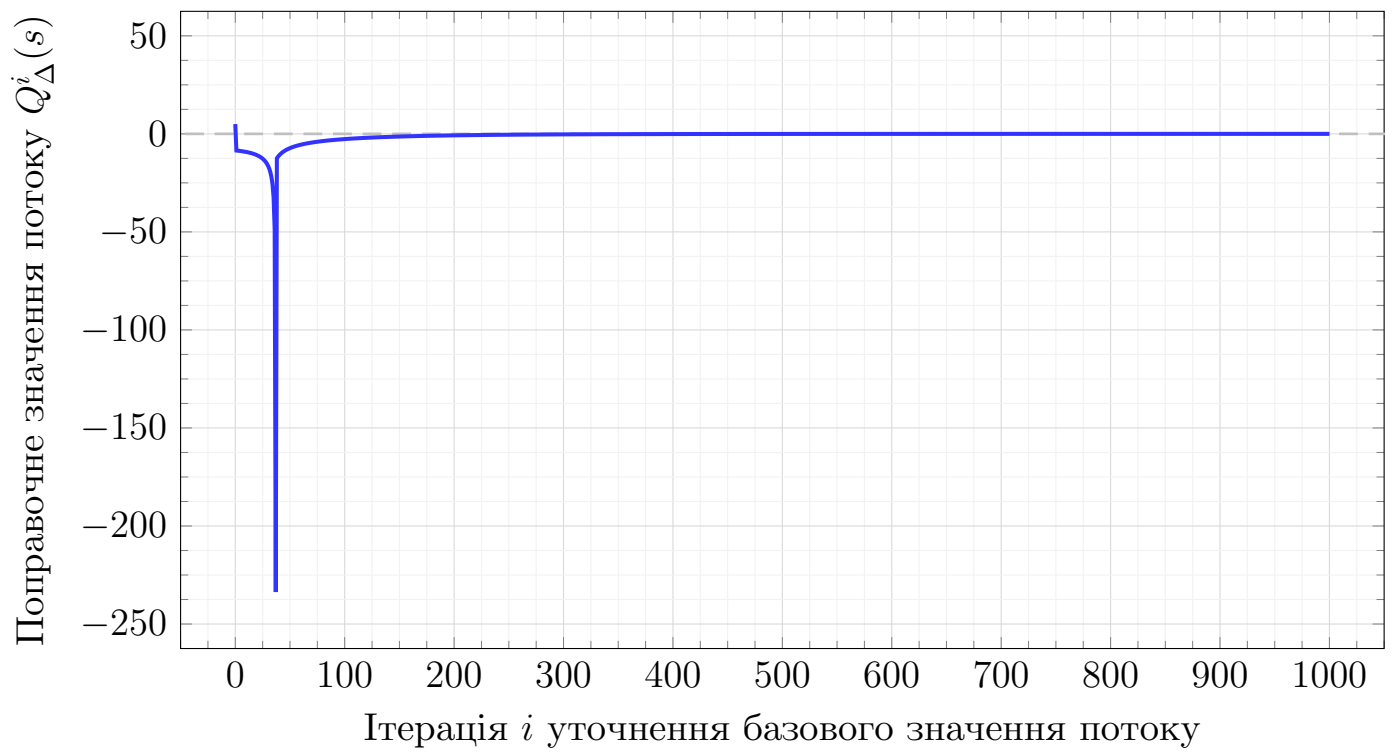


Рис. 4: Поправочне значення потоку на елементі «3» від ітерації до ітерації

Бачимо, що поправочні значення збігаються до нуля. В результаті, після 1000 ітерацій отримуємо такий розподіл тисків та потоків системи:

	Елемент «1»		Елемент «2»		Елемент «3»	
	Початок	Кінець	Початок	Кінець	Початок	Кінець
$p(s)$	400	36	36	100	100	400
$Q_{\Delta}(s)$	0.00012		-0.00023		-0.00022	
Q_{trial}^{1000}	8.53217		-3.57748		-7.74575	

Таблиця 5: Значення шуканих параметрів системи №1

Від'ємні значення потоків сигналізують про те, що на Рис. 1 на відповідній ділянці трубопроводу слід обрати протилежний напрямок обходу. І справді, це відповідає фізичній логіці системи — наприклад, від точки найбільшого тиску A тиск саме відтікатиме від неї по обидвох трубах тощо. Крім того, переконуємося, що згідно з отриманими результатами рівняння зв'язку для тисків (Табл. 2 – Табл. 4) виконуються з точністю до 10^{-4} :

$$36 = 400 - 2 \cdot 1 \cdot 8.53217 \cdot 0.00012 \cdot 5 - 8.53217 \cdot 8.53217 \cdot 5 \quad (3.3)$$

$$100 = 36 + 2 \cdot 1 \cdot 3.57748 \cdot 0.00023 \cdot 5 + 3.57748 \cdot 3.57748 \cdot 5 \quad (3.4)$$

$$400 = 100 + 2 \cdot 1 \cdot 7.74575 \cdot 0.00022 \cdot 5 + 7.74575 \cdot 7.74575 \cdot 5 \quad (3.5)$$

§4 Пошук розв'язку системи №2

Деталізація поставленої задачі

Модифікуємо попередню газопровідну систему таким чином: нехай в центрі заданого трикутника поставили точку D_0 , яка найкоротшим шляхом з'єднана з кожною стороною. Опір новоутворених з'єднань $R = 3$ у.о. ($\mu = 1/3$ у.о.). Слід знайти оновлений розподіл потоків $Q(s)$ на кожній трубі системи, а також тиск в точці D_0 .

Аналогічним чином виконаємо перший крок методу початкових параметрів — реалізуємо організацію обходу по елементах системи (Рис. 5). Таким чином, розділимо трубопровідну систему потужності $N = 2$ на $K = 9$ елементів та чотири вузли. Наступним етапом проведемо нумерацію $2KN = 36$ змінних (параметрів системи) на початку та в кінці кожного елемента (Табл. 6 – Табл. 8).

Відповідно, для отримання чисельних розв'язків слід скласти $2KN = 36$ рівнянь: 18 рівнянь зв'язку будуть складені аналогічним чином згідно виразу (3.1) для кожного з дев'яти елементів системи (так само, як в Табл. 2 – Табл. 4).

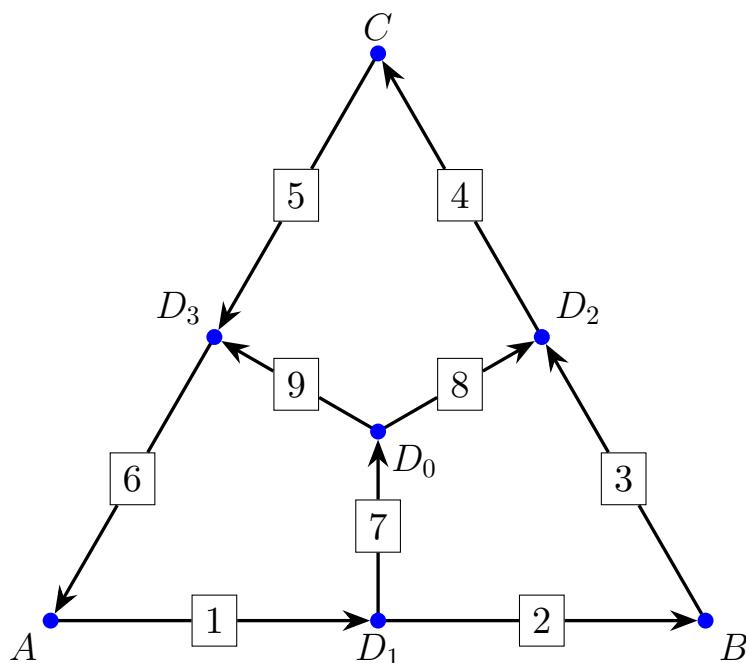


Рис. 5: Організація обходу по елементах системи №2

На додачу до ще 3-ох рівнянь спряження тисків в точках A , B , C та 3-ох граничних умов для цих точок, система включатиме 12 рівнянь вузлів в точках D_0 , D_1 , D_2 й D_3 згідно з міркуваннями неперервності тиску та збалансованості потоків (2.1).

	Елемент «1»		Елемент «2»		Елемент «3»	
	Початок	Кінець	Початок	Кінець	Початок	Кінець
$\mathbf{p(s)}$	x_1	x_3	x_5	x_7	x_9	x_{11}
$Q_{\Delta}(s)$	x_2	x_4	x_6	x_8	x_{10}	x_{12}
Q_{trial}^i	α_2^i	α_4^i	α_6^i	α_8^i	α_{10}^i	α_{12}^i

Таблиця 6: Нумерація першого блоку параметрів системи №2

	Елемент «4»		Елемент «5»		Елемент «6»	
	Початок	Кінець	Початок	Кінець	Початок	Кінець
$\mathbf{p(s)}$	x_{13}	x_{15}	x_{17}	x_{19}	x_{21}	x_{23}
$Q_{\Delta}(s)$	x_{14}	x_{16}	x_{18}	x_{20}	x_{22}	x_{24}
Q_{trial}^i	α_{14}^i	α_{16}^i	α_{18}^i	α_{20}^i	α_{22}^i	α_{24}^i

Таблиця 7: Нумерація другого блоку параметрів системи №2

	Елемент «7»		Елемент «8»		Елемент «9»	
	Початок	Кінець	Початок	Кінець	Початок	Кінець
$\mathbf{p}(\mathbf{s})$	x_{25}	x_{27}	x_{29}	x_{31}	x_{33}	x_{35}
$Q_{\Delta}(s)$	x_{26}	x_{28}	x_{30}	x_{32}	x_{34}	x_{36}
Q_{trial}^i	α_{26}^i	α_{28}^i	α_{30}^i	α_{32}^i	α_{34}^i	α_{36}^i

Таблиця 8: Нумерація третього блоку параметрів системи №2

Таким чином, рівняння у вузлі точки D_0 матимуть вид:

$$x_{27} = x_{29}, \quad (4.1)$$

$$x_{27} = x_{33}, \quad (4.2)$$

$$\alpha_{28}^i + x_{28} = \alpha_{34}^i + x_{34} + \alpha_{30}^i + x_{30}, \quad (4.3)$$

рівняння у вузлі точки D_1 :

$$x_3 = x_5, \quad (4.4)$$

$$x_3 = x_{25}, \quad (4.5)$$

$$\alpha_4^i + x_4 = \alpha_{26}^i + x_{26} + \alpha_6^i + x_6, \quad (4.6)$$

рівняння у вузлі точки D_2 :

$$x_{11} = x_{13}, \quad (4.7)$$

$$x_{11} = x_{31}, \quad (4.8)$$

$$\alpha_{12}^i + x_{12} + \alpha_{32}^i + x_{32} = \alpha_{14}^i + x_{14}, \quad (4.9)$$

та рівняння у вузлі точки D_3 :

$$x_{19} = x_{21} \quad (4.10)$$

$$x_{19} = x_{35} \quad (4.11)$$

$$\alpha_{36}^i + x_{36} + \alpha_{20}^i + x_{20} = \alpha_{22}^i + x_{22} \quad (4.12)$$

Візуалізація отриманих результатів

Як і раніше, задамо набір базових значень потоків на ітерації $i = 0$:

$$\alpha_{2j}^0 = 5, \quad j = \overline{1, 18} \quad (4.13)$$

Аналогічним чином проведемо 1000 ітерацій пошуку розв'язку системи рівнянь для уточнення значення потоку згідно з формулою (1.10) при кроці $\eta = 0.01$. Значення поправочних потоків вибірково продемонстровані на Рис. 6 – Рис. 8.

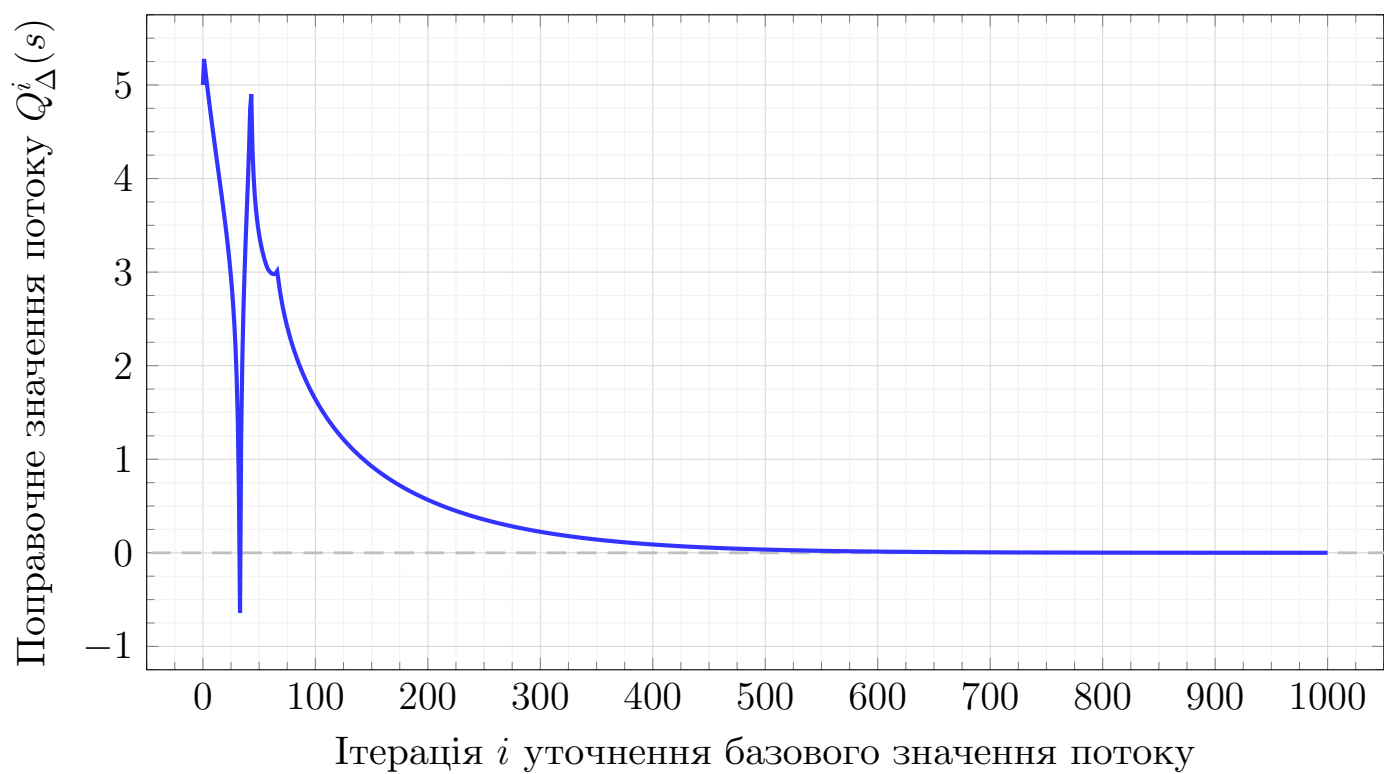


Рис. 6: Поправочне значення потоку на елементі «1» від ітерації до ітерації

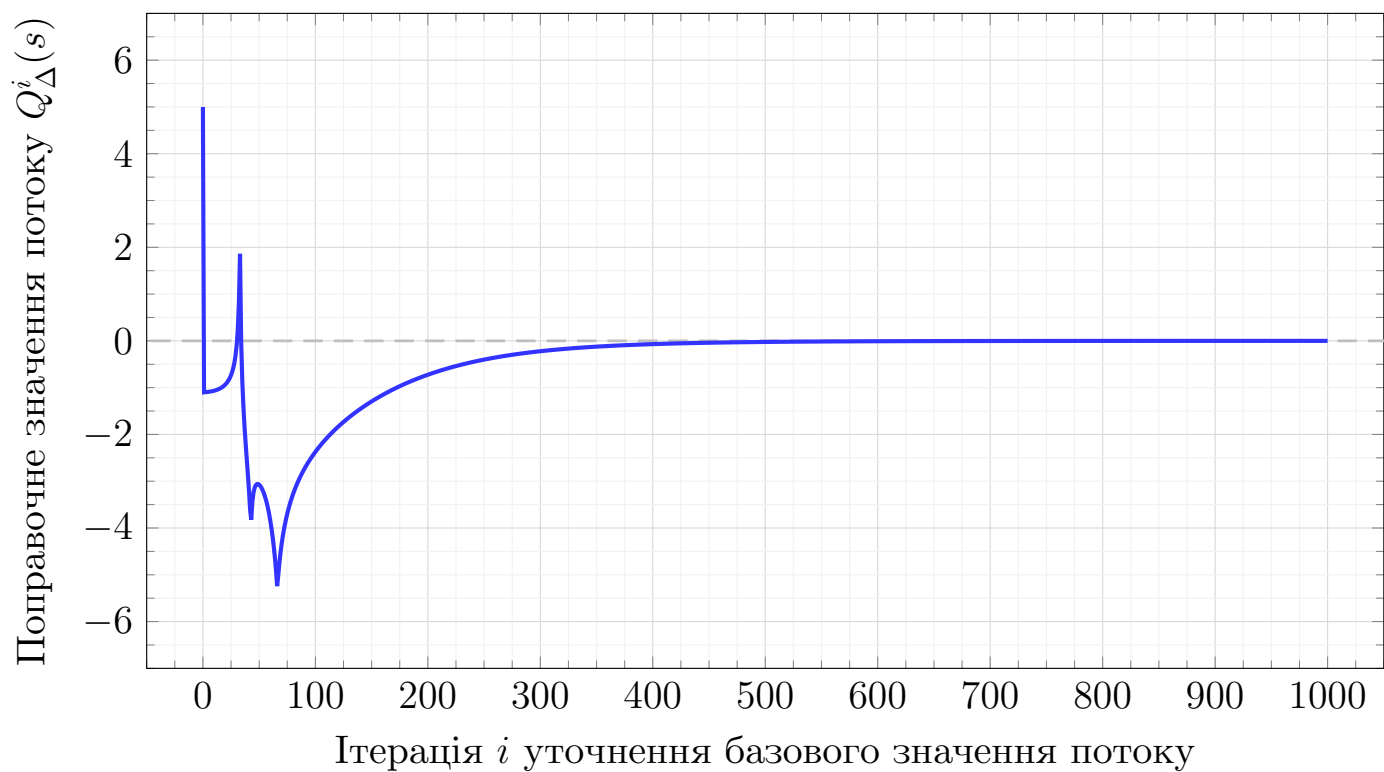


Рис. 7: Поправочне значення потоку на елементі «4» від ітерації до ітерації

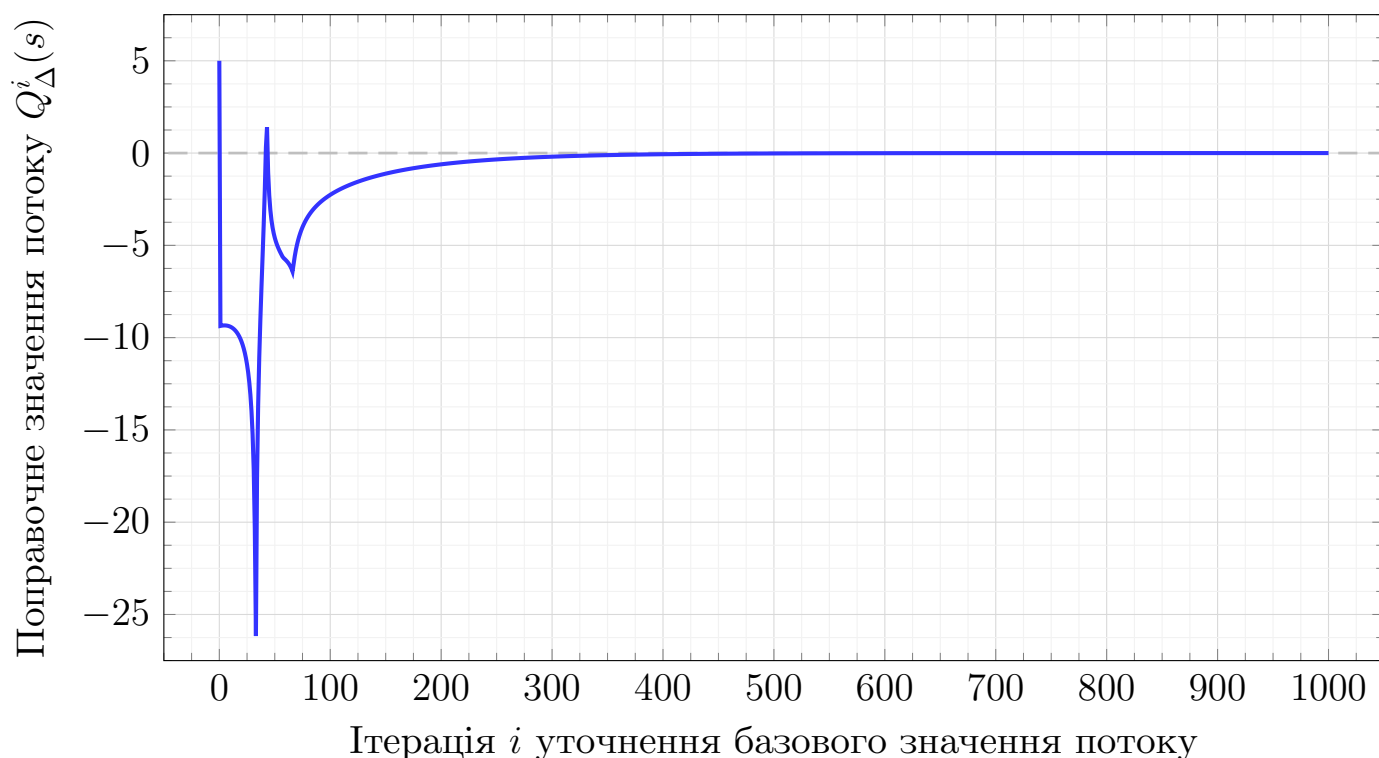


Рис. 8: Поправочне значення потоку на елементі «9» від ітерації до ітерації

Аналогічний характер збіжності до нуля властивий і для усіх інших елементів системи №2. В результаті, після 1000 ітерацій отримуємо розподіл тисків та потоків системи, зазначений на Табл. 9 – Табл. 11.

	Елемент «1»		Елемент «2»		Елемент «3»	
	Початок	Кінець	Початок	Кінець	Початок	Кінець
$\mathbf{p(s)}$	400	170.91	170.91	36	36	100.94
$Q_{\Delta}(s)$	0.00026		-0.00005		-0.00031	
Q_{trial}^{1000}	9.57232		7.34619		-5.09630	

Таблиця 9: Значення першого блоку параметрів системи №2

Від'ємні значення потоків, як і у випадку системи №1, сигналізують про те, що на Рис. 5 на відповідній ділянці трубопроводу слід обрати протилежний напрямок обходу.

	Елемент «4»		Елемент «5»		Елемент «6»	
	Початок	Кінець	Початок	Кінець	Початок	Кінець
$p(s)$	100.94	100	100	184.28	184.28	400
$Q_{\Delta}(s)$	-0.00014		-0.00033		-0.00019	
Q_{trial}^{1000}	0.61282		-5.80592		-9.28892	

Таблиця 10: Значення другого блоку параметрів системи №2

	Елемент «7»		Елемент «8»		Елемент «9»	
	Початок	Кінець	Початок	Кінець	Початок	Кінець
$p(s)$	170.91	161.68	161.68	100.94	161.68	184.28
$Q_{\Delta}(s)$	0.00009		-0.00004		-0.00008	
Q_{trial}^{1000}	2.22634		5.70934		-3.48278	

Таблиця 11: Значення третього блоку параметрів системи №2

Згідно з отриманими результатами рівняння зв'язку, рівняння спряження та рівняння вузлів виконуються з точністю до 10^{-4} . Зокрема, наведемо справедливості рівнянь для потоків у вузлах D_0 та D_1 :

$$0.00009 + 2.22634 = (-0.00004 + 5.70934) + (-0.00008 - 3.48278), \quad (4.14)$$

$$0.00026 + 9.57232 = (0.00009 + 2.22634) + (-0.00005 + 7.34619), \quad (4.15)$$

та аналогічним чином у вузлах D_2 та D_3 :

$$(-0.00031 - 5.09630) + (-0.00004 + 5.70934) = (-0.00014 + 0.61282) \quad (4.16)$$

$$(-0.00033 - 5.80592) + (-0.00008 - 3.48278) = (-0.00019 - 9.28892) \quad (4.17)$$

Наостанок, порівняємо розподіли тисків та потоків для випадку системи №1 (Рис. 1) та для випадку системи №2 (Рис. 5). Наприклад, для порівняльного аналізу обчислимо масовий потік, спрямований у точку B : значення потоку у початковій конфігурації трубопроводів є сумою потоків на відрізках AB та CB і складає 12.10965, в той час як після модифікацій газопроводу масовий потік у точці B є сумою потоків на проміжках D_1B та D_2B й дорівнює 12.44249.

Іншими словами, різниця складає $\delta_B = 0.33284$ на користь системи №2. Отже, модифікації трубопроводу призвели до більш оптимального розподілу тисків та потоків у системі.

§5 Висновки

У лабораторній роботі було розглянуто моделювання газової трубопровідної системи, при цьому кожна точка s системи описувалася параметром тиску $p(s)$ та масового потоку $Q(s)$. Для пошуку аналітичного розв'язку системи було використано метод початкових параметрів. Таким чином, як для варіанта системи №1 на Рис. 1, так і для варіанта системи №2 на Рис. 5 газопровідна система структурно була розділена на елементи, точки спряження та відповідні вузли.

Диференціальні рівняння, які описують фізику системи, мали особливість — нелінійність розв'язку відносно параметрів системи. Тим не менш, вдалося застосувати дві модифікації, які дозволили лінеаризувати розв'язок, а саме: розв'язування рівнянь не відносно значення тиску, а відносно значення квадрату тиску; розклад квадрату потоку на суму складових так званого базового та поправочного значення з подальшою ітеративною процедурою уточнення.

В результаті вдалося показати, що ітеративна процедура демонструє збіжність поправочного значення до нуля. Отже, отримані розподіли тиску та потоків систем із високою точністю коректно відображають моделі газових трубопровідних систем, розглянутих у цій лабораторній роботі.

Крім того, було виявлено, що модифікації системи №1 до вигляду системи №2 шляхом додавання додаткового центрального вузла оптимізували розподіли тисків та потоків, що вказує про інженерну доцільність такого роду видозміни.

§6 Програмна реалізація

В ході дослідження було використано засоби мови програмування Python версії 3.8.10 в інтегрованому середовищі розробки Visual Studio Code версії 1.78.2. Нижче наведені тексти ключових інструментальних програм.

Лістинг 1: Підключення бібліотек

```
1 import matplotlib.pyplot as plt
2 import numpy as np
```

Лістинг 2: Основний функціональний блок методу початкових параметрів

```
1 def transition_matrix_method(D,K,C,triangle):
2     A = np.zeros((D,D))
3     B = np.zeros((D))
4
5     if triangle == "ABC":
6         L, alpha = 5, 1
7
8         # field equations AB
9         A[0][2], A[0][0], A[0][1], B[0] = 1, -1, 2*alpha*abs(C[1])*L,
10            -abs(C[1])*C[1]*L
11         A[1][3], A[1][1], B[1] = 1, -1, C[1] - C[3]
12
13         # field equations BC
14         A[2][6], A[2][4], A[2][5], B[2] = 1, -1, 2*alpha*abs(C[5])*L,
15            -abs(C[5])*C[5]*L
16         A[3][7], A[3][5], B[3] = 1, -1, C[5] - C[7]
17
18         # field equations CA
19         A[4][10], A[4][8], A[4][9], B[4] = 1, -1, 2*alpha*abs(C[9])*L,
20            -abs(C[9])*C[9]*L
21         A[5][11], A[5][9], B[5] = 1, -1, C[9] - C[11]
22
23         # edge equations
24         A[6][0], B[6] = 1, 20*20
25         A[7][4], B[7] = 1, 6*6
26         A[8][8], B[8] = 1, 10*10
27
28         # transition equations A
29         A[9][10], A[9][0] = 1, -1
30
31         # transition equations B
32         A[10][4], A[10][2] = 1, -1
33
34         # transition equations C
35         A[11][8], A[11][6] = 1, -1
```



```

36 if triangle == "ABCD":
37     # field equations
38     for i,j in zip(range(0,2*K-1,2),range(0,D,4)):
39         if i < 12:
40             alpha, L = 1, 2.5
41             A[i][2+j], A[i][0+j], A[i][1+j], B[i] = 1, -1, 2*alpha*abs(C[1+j])*L,
42                 -abs(C[1+j])*C[1+j]*L
43             A[i+1][3+j], A[i+1][1+j], B[i+1] = 1, -1, C[1+j] - C[3+j]
44         else:
45             alpha, L = 1/3, 5*np.sqrt(3)/6
46             A[i][2+j], A[i][0+j], A[i][1+j], B[i] = 1, -1, 2*alpha*abs(C[1+j])*L,
47                 -abs(C[1+j])*C[1+j]*L
48             A[i+1][3+j], A[i+1][1+j], B[i+1] = 1, -1, C[1+j] - C[3+j]
49
50     # edge equations
51     A[18][0], B[18] = 1, 20*20
52     A[19][8], B[19] = 1, 6*6
53     A[20][16], B[20] = 1, 10*10
54
55     # transition equations A
56     A[21][22], A[21][0] = 1, -1
57
58     # transition equations B
59     A[22][8], A[22][6] = 1, -1
60
61     # transition equations C
62     A[23][16], A[23][14] = 1, -1
63
64     # node equations D0
65     A[24][32], A[24][28] = 1, -1
66     A[25][32], A[25][26] = 1, -1
67     A[26][27], A[26][33], A[26][29], B[26] = 1, -1, -1, C[29] + C[33] - C[27]
68
69     # node equations D1
70     A[27][20], A[27][18] = 1, -1
71     A[28][20], A[28][34] = 1, -1
72     A[29][35], A[29][19], A[29][21], B[29] = 1, 1, -1, C[21] - C[19] - C[35]
73
74     # node equations D2
75     A[30][12], A[30][10] = 1, -1
76     A[31][12], A[31][30] = 1, -1
77     A[32][11], A[32][31], A[32][13], B[32] = 1, 1, -1, C[13] - C[31] - C[11]
78
79     # node equations D2
80     A[33][24], A[33][2] = 1, -1
81     A[34][24], A[34][4] = 1, -1
82     A[35][3], A[35][25], A[35][5], B[35] = 1, -1, -1, C[5] + C[25] - C[3]
83
84 A_inv = np.linalg.inv(A)
85 X = np.dot(A_inv,B)
86 return X

```

Лістинг 3: Ітеративна процедура та візуалізація результатів для системи №1

```
1 triangle = "ABC"
2 iterations = 1000
3 eta = 0.01
4
5 N = 2
6 K = 3
7 D = 2*N*K
8
9 C = np.zeros((D))
10 for i in range(1,len(C),2):
11     C[i] = 5
12
13 Qs = [[C[i] for i in range(len(C)) if i % (2*N) == 1]]
14
15 for cycle in range(iterations):
16     X = transition_matrix_method(D,K,C,triangle)
17     Qs.append([X[i] for i in range(len(X)) if i % (2*N) == 1])
18     for i in range(1,len(C),2):
19         C[i] = C[i] + eta*X[i]
20
21 for j in range(len(Qs[0])):
22     plt.plot([Qs[i][j] for i in range(len(Qs))], marker="o", color="blue")
23 plt.show()
```

Лістинг 4: Ітеративна процедура та візуалізація результатів для системи №2

```
1 triangle = "ABCD"
2 iterations = 1000
3 eta = 0.01
4
5 N = 2
6 K = 9
7 D = 2*N*K
8
9 C = np.zeros((D))
10 for i in range(1,len(C),2):
11     C[i] = 5
12
13 Qs = [[C[i] for i in range(len(C)) if i % (2*N) == 1]]
14
15 for cycle in range(iterations):
16     X = transition_matrix_method(D,K,C,triangle)
17     Qs.append([X[i] for i in range(len(X)) if i % (2*N) == 1])
18     for i in range(1,len(C),2):
19         C[i] = C[i] + eta*X[i]
20
21 for j in range(len(Qs[0])):
22     plt.plot([Qs[i][j] for i in range(len(Qs))], marker="o", color="blue")
23 plt.show()
```